

# Список литературы

- [1] Баландин С.Ф., Копытин Ю.Д., Хан В.А. и др. // ЖТФ. 1988. Т. 58. В. 2. С. 324.  
[2] Хан В.А. и др. Деп. в ВИНИТИ № 2111-В87 от 24.03.87.

Институт оптики атмосферы  
СО АН СССР, Томск

Поступило в Редакцию  
10 апреля 1989 г.  
В окончательной редакции  
25 августа 1989 г.

Письма в ЖТФ, том 16, вып. 3

12 февраля 1990 г.

01; 03

© 1990

РАСЧЕТ НЕСТАЦИОНАРНОГО ТЕЧЕНИЯ ГАЗА  
ПРИ КОАКСИАЛЬНОМ ЦИЛИНДРИЧЕСКОМ  
ЭНЕРГОВЫДЕЛЕНИИ В НЕОГРАНИЧЕННОМ ПРОСТРАНСТВЕ

А.С. Киселев, Ю.М. Липницкий,  
А.В. Панасенко

В [1, 2] рассмотрены различные случаи мгновенного точечного энерговыделения. В [3, 4] показано, что при мгновенном сферическом или цилиндрическом энерговыделении возникают качественно новые особенности в формировании течения газа.

В этой связи в рамках модели идеального совершенного газа [1] рассмотрим мгновенное выделение энергии  $\Delta E$  в некотором объеме, который ограничен одной цилиндрической поверхностью или двумя коаксиальными цилиндрическими поверхностями.

Расчеты проведены с помощью численного метода, отличающегося от [5] иным способом монотонизации решения:

$$\tilde{f}_i^{n+1} = f_i^+ (\varphi_{i+1/2}^* - \varphi_{i-1/2}^*) / \Delta \Omega_i,$$

$$\varphi_{i+1/2}^* = \begin{cases} \varphi_{i+1/2}, & \text{если } (\delta \rho_{i-1}^2, \delta \rho_i^2 < 0) \vee (\delta \rho_i^2, \delta \rho_{i+1}^2 < 0) \vee (\delta \rho_{i+1}^2, \delta \rho_{i+2}^2 < 0) \\ 0, & \text{в противном случае,} \end{cases}$$

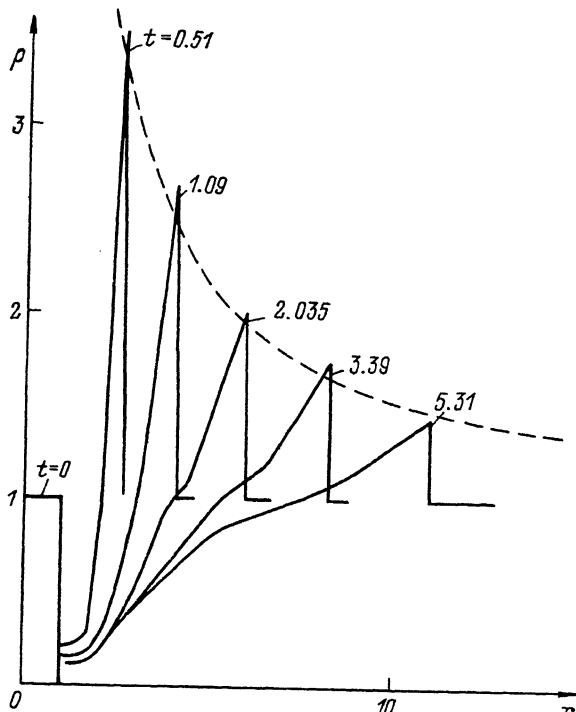


Рис. 1

Рис. 1

$$\varphi_{i+1/2} = Q \cdot \delta f_{i+1/2} \cdot \psi(\Delta \Omega_i, \Delta \Omega_{i+1}),$$

$$\delta f_{i+1/2} = f_{i+1}^{n+1} - f_i^{n+1},$$

$$\delta^2 f_i = \delta f_{i+1/2} - \delta f_{i-1/2},$$

$$Q = q \Delta t^n / \Delta t_i^n.$$

Здесь  $f$  — искомая функция,  $Q \sim 0.1$  — коэффициент сглаживания решения,  $\rho$  — плотность,  $\Delta \Omega_i$  — объем разностной ячейки с индексом  $i$ ,  $i$  — индекс, определяющий рассматриваемую ячейку,  $\Delta t^n$  — шаг по времени.

Введение вышеуказанного монотонизатора позволяет преодолеть трудности, встречающиеся при использовании метода [5] для расчета течений с энерговыделением.

Методика численного расчета проверялась на примере задачи о точечном энерговыделении с противодавлением. Данная задача рассматривалась с сильной стадии и до времен, соответствующих

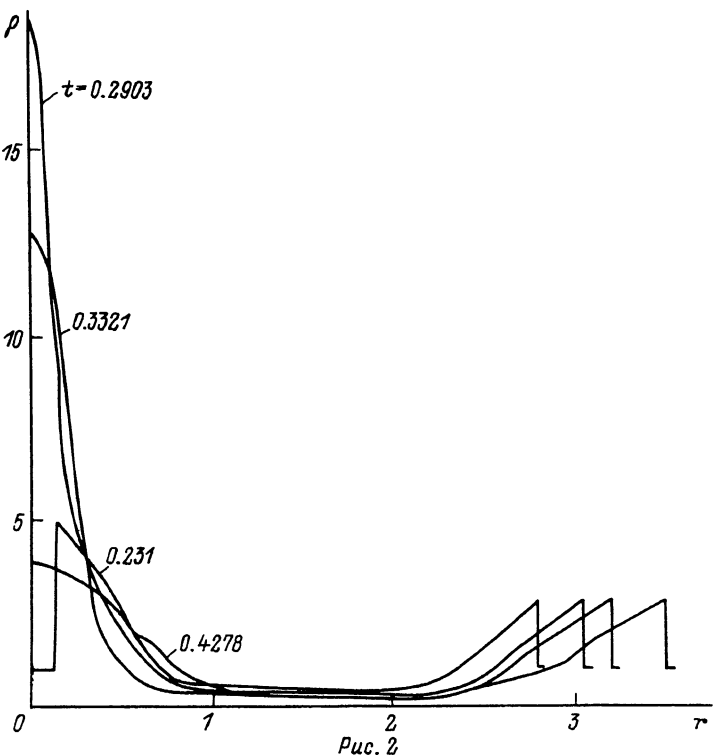


Рис. 2

перепаду давления во фронте ударной волны  $\sim 1.2$ . Полученное решение соответствует [1] по параметрам во фронте ударной волны с точностью  $\sim 10\%$ . Границные условия здесь и ниже задавались общепринятым способом [1, 3-5].

Типичный результат расчета, полученный при цилиндрическом энерговыделении с начальной  $\Delta E = 157$ , приведен на рис. 1 в виде зависимостей плотности  $\rho$  от расстояния до центра симметрии  $X$  и времени  $t$  (обозначение времени здесь и ниже принято по невозмущенному давлению  $P$  и плотности  $\rho$ ). Анализ полученных результатов показывает, что максимальные уровни  $P$  и  $\rho$ , начиная с  $t \sim 1$ , близки к значениям, полученным для эквивалентного по  $\Delta E$  точечного взрыва (штриховая линия на рисунке).

Расчеты показывают, что при мгновенном кольцевом энерговыделении (в отличие от цилиндрического) к центру симметрии распространяется более сильная ударная волна, фокусирующаяся и усиливющаяся при ее подходе к центру.

После схлопывания в центре возникает ударная волна, движущаяся вслед за головной ударной волной. Указанная особенность формирования течения газа при прочих равных условиях зависит от ширины кольца  $\Delta X$ ; при увеличении  $\Delta X$  волна разрежения, возни-

кающая за головной ударной волной, позднее подходит к центру, что в результате приводит к более высокому уровню в значениях  $P$  и  $\rho$  на линии симметрии. При этом течение газа за головной ударной волной до момента прихода возмущений, идущих от внутренней структуры течения, соответствует случаю цилиндрического энерговыделения. При  $\Delta X > 0.25$  в окрестности линии симметрии в результате схлопывания ударной волны формируются параметры течения газа, независящие от ширины кольца.

Сказанное иллюстрируется рис. 2, на котором для  $\Delta X = 1$ ,  $\Delta F = 471$  приведены распределения  $\rho(x)$ .

### Список литературы

- [1] Кестенбойм Х.С., Росляков Г.С., Чудов Л.А. Точечный взрыв. Методы расчета. Таблицы. М.: Наука, 1974.
- [2] Коробейников В.П., Мельникова Н.С., Рязанов Е.В. Теория точечного взрыва. М.: Физматиз, 1961.
- [3] Броуд Г. Расчеты взрывов на ЭВМ. М.: Мир, 1975.
- [4] Грудницкий В.Г., Рыгалин В.Н. //ЖВММФ. 1983. Т. 23. № 2. С. 413-422.
- [5] Жаккин А.И., Фурсенко А.А. // ЖВММФ. 1980. Т. 20. № 4. С. 1021-1031.

Поступило в Редакцию  
27 декабря 1989 г.

Письма в ЖТФ, том 16, вып. 3  
01; 09

12 февраля 1990 г.

© 1990

### ВЛИЯНИЕ ПОЛЯРИЗАЦИИ НА РАДИАЦИОННОЕ ВЗАИМОДЕЙСТВИЕ ЗАРЯДОВ В ПОЛЕ ЭЛЕКТРОМАГНИТНОЙ ВОЛНЫ

С.Т. Завтрақ

Недавно было установлено, что между малыми частицами, совершающими вынужденные колебания в переменных внешних полях, возникают средние по времени и квадратичные по полю дальнодействующие силы радиационного взаимодействия [1-6]. Пространственная структура этих сил обладает универсальным характером. В работах [1-4] рассмотрено взаимодействие газовых пузырьков в сжимаемой жидкости в поле звуковой волны, в [5] - радиацион-